

## Покрывающая способность наночастиц сульфида серебра в сульфидных композитах

С. И. Садовников, И. И. Леонидов, А. А. Валеева, А. И. Гусев<sup>1)</sup>

Институт химии твердого тела Уральского отделения РАН, 620990 Екатеринбург, Россия

Поступила в редакцию 30 мая 2024 г.

После переработки 1 июля 2024 г.

Принята к публикации 3 июля 2024 г.

Методом химического соосаждения синтезированы сульфидные композиты ZnS/Ag<sub>2</sub>S с разным содержанием сульфида серебра. Размер наночастиц ZnS и Ag<sub>2</sub>S в композитах ZnS/Ag<sub>2</sub>S, содержащих менее 1.0 мол. % Ag<sub>2</sub>S, составляет ~4 и не более 3 нм соответственно. Введение наночастиц сульфида серебра в композиты ZnS/Ag<sub>2</sub>S приводит к осаждению Ag<sub>2</sub>S на поверхность наночастиц ZnS. Легирование наночастиц ZnS всего лишь 1 мол. % наночастиц Ag<sub>2</sub>S достаточно для образования покрывающей оболочки сульфида серебра на поверхности наночастиц ZnS.

DOI: 10.31857/S0370274X24080036, EDN: WDTYRH

Сульфиды серебра Ag<sub>2</sub>S и цинка ZnS используются в люминофорах, солнечных элементах, светодиодах, катализаторах. Композиты и гетеронаноструктуры на основе нанокристаллических полупроводниковых сульфидов Ag<sub>2</sub>S и ZnS позволяют регулировать ширину запрещенной зоны и рассматриваются как перспективные наноматериалы для твердотельных ультрафиолетовых лазеров, быстродействующих переключателей сопротивления, для применения в фотокатализе [1–3].

Низкотемпературная полупроводниковая фаза сульфида серебра – акантит  $\alpha$ -Ag<sub>2</sub>S с моноклинной (пр. гр.  $P2_1/c$ ) структурой существует при температуре ниже 450 К. Ширина запрещенной зоны сульфида серебра со структурой акантита  $\alpha$ -Ag<sub>2</sub>S равна 0.9–1.1 эВ [4].

Низкотемпературная кубическая (пр. гр.  $F\bar{4}3m$ ) модификация  $\alpha$ -ZnS имеет кубическую структуру сфалерита ZnS (тип *B3*) и стабильна при температуре ниже 1290 К. В нормальных условиях крупнокристаллический (bulk) сульфид цинка является широкозонным полупроводником. Ширина запрещенной зоны  $E_g$  кубического  $\alpha$ -ZnS составляет 3.50–3.76 эВ [5, 6].

Одним из методов получения композитных структур ZnS/Ag<sub>2</sub>S с высоким (10 мол. % и более) содержанием сульфида серебра является соосаждение из водных коллоидных растворов [3, 7].

В настоящее время проблема синтеза композитных структур на основеnanostructuredированных сульфидов Ag<sub>2</sub>S и ZnS еще не решена полностью.

В частности, отсутствуют работы по синтезу композитных структур ZnS/Ag<sub>2</sub>S с малым (менее 1 мол. %) содержанием Ag<sub>2</sub>S. Систематические исследования низкоконцентрированных композитов ZnS/Ag<sub>2</sub>S, содержащих ~0.1–1.0 мол. % Ag<sub>2</sub>S, отсутствуют. Имеются частные работы по синтезу кристаллов ZnS, dopirovannых серебром [8], по получению нанокомпозитов ZnS@Ag<sub>2</sub>S в обратной микрэмulsionии [9], по синтезу нанокомпозитов ZnS/Ag<sub>2</sub>S методом катионного обмена [10], наночастицы Ag<sub>2</sub>S@ZnS типа ядро-оболочка получали в водных растворах с использованием микроволнового излучения [11].

В последнее время появились новые работы по получению и исследованию нанокомпозитов ZnS/Ag<sub>2</sub>S. *In situ* синтез нанодисперсной системы ZnS–Ag<sub>2</sub>S с помощью катионного обмена, действующей как тепловой биомаркер, описан в работе [12]. Квантовые точки Ag<sub>2</sub>S/ZnS типа ядро/оболочка с повышенным квантовым выходом синтезированы на границе раздела в капельном микрореакторе [13]. Сравнительный анализ синтеза и каталитической активности TiO<sub>2</sub> и композитов AgZnS [14] показал, что композит AgZnS (допированный серебром сульфид цинка) обладает повышенным выделением водорода из водных растворов. Повышение фотокаталитической активности композитов AgZnS, CuZnS, CoZnS, полученных катионным допированием ZnS добавками Ag, Cu и Co, в реакциях выделения водорода рассмотрено в работе [15].

Спектры комбинационного рассеяния света (рамановские спектры) нанокомпозитов ZnS@Ag<sub>2</sub>S и ZnS@Ag<sub>2</sub>S/RGO (RGO – восстановленный оксид гра-

<sup>1)</sup>e-mail: gusev@ihim.uran.ru

фена) с высокой катализической активностью в видимой области измерены в работе [16]. Химическое осаждение композитных наночастиц ZnS/Ag<sub>2</sub>S и изучение их структуры и оптических свойств методом комбинационного рассеяния света (micro-Raman spectroscopy) описано в работе [17]. Zhang и соавторы [18] получили композитные электроды ZnS@Ag<sub>2</sub>S на основе квантовых точек сульфидов серебра и цинка для фотоэлектрохимических датчиков.

Спектроскопия комбинационного рассеяния света (КРС) дает важную информацию о строении полупроводниковыхnanoструктур и является неразрушающим аналитическим методом идентификации различных соединений серебра и цинка, чьи колебательные частоты находятся в ближней инфракрасной области. Изучение комбинационного рассеяния света композитами ZnS/Ag<sub>2</sub>S позволяет выявить особенностии их строения и роль сульфида серебра в них.

Ранее осаждение сульфидов Ag<sub>2</sub>S и ZnS с образованием гетероструктур ZnS/Ag<sub>2</sub>S было промоделировано методом классической молекулярной динамики в работе [19], а в работе [20] было рассмотрено строение границы раздела в композитной структуре Ag<sub>2</sub>/ZnS. В настоящей работе мы представляем экспериментальное исследование строения композитных структур ZnS/Ag<sub>2</sub>S с помощью комплекса методов, включающих рентгеновскую дифракцию, электронную микроскопию и спектроскопию комбинационного рассеяния.

Гетеронаноstructuredы ZnS/Ag<sub>2</sub>S с содержанием 10 и более мол. % сульфида серебра получали двухстадийным соосаждением сульфидов Ag<sub>2</sub>S и ZnS из водных коллоидных растворов в работах [3, 7]. В данной работе композиты ZnS/Ag<sub>2</sub>S с низкой (от 0.1 до 4.0–10.0 мол. % Ag<sub>2</sub>S) концентрацией сульфида серебра синтезировали модифицированным соосаждением Ag<sub>2</sub>S и ZnS, экспериментально подбирая для синтеза сульфида серебра низкоконцентрированные составы реакционных смесей. Для этого на 100 мол. % сульфида цинка вводилось  $x$  мол. % сульфида серебра, поэтому конкретный состав синтезированных композитов представляли как ZnS/Ag<sub>2</sub>S-( $x$ ), где величина  $x$  – содержание Ag<sub>2</sub>S в мол. % на 100 мол. % ZnS. Составы реакционных смесей и синтезированных композитных структур ZnS/Ag<sub>2</sub>S-( $x$ ) приведены в табл. 1.

Осажденные сульфидные нанопорошки и композиты исследовали методом рентгеновской дифракции на дифрактометре Shimadzu XRD-7000 в Cu $\alpha_{1,2}$ -излучении. Рентгеновские измерения проводили в интервале углов  $2\theta = 20\text{--}95^\circ$  с шагом  $\Delta(2\theta) = 0.02^\circ$  и временем сканирования 10 с в каждой

точке. Определение параметров кристаллической решетки и окончательное уточнение структуры синтезированных сульфидных порошков проводили с помощью программного пакета X'Pert Plus [21]. Средний размер  $D$  частиц в синтезированных сульфидах и композитах ZnS/Ag<sub>2</sub>S определяли рентгенодифракционным методом по уширению дифракционных отражений, используя зависимость приведенного  $\beta^*(2\theta) = [\beta(2\theta) \cos \theta]/\lambda$  от вектора рассеяния  $s = (2 \sin \theta)/\lambda$ .

Микроструктуру синтезированных композитов ZnS/Ag<sub>2</sub>S изучали с применением просвечивающего электронного микроскопа ThemisZ (Thermo Fisher, USA). Наличие в нем двух корректоров aberrаций позволяет получать изображения микроструктуры наночастиц с разрешением по решетке до 0.07 нм как в прямом изображении, так и в режиме HAADF-STEM (high-angle annular dark-field scanning transmission electron microscopy), проводить EDX картирование практически с атомарной точностью и с определением позиций как тяжелых (Ag, Zn), так и легких (S) элементов. Микроструктуру композитов ZnS/Ag<sub>2</sub>S изучали также методом сканирующей электронной микроскопии на микроскопе Carl Zess EVO40 в режиме обратно отраженных электронов, а элементный состав определяли с помощью приставки для энергодисперсионного рентгеновского анализа EDAX.

Спектры комбинационного рассеяния (КР) синтезированных сульфидов цинка и серебра и композитных структур ZnS/Ag<sub>2</sub>S были зарегистрированы в интервале 50–3500  $\text{cm}^{-1}$  на рамановском микроскопе Renishaw inVia Reflex, оснащенном конфокальным микроскопом Leica DML2700 и охлаждаемым CCD (cooled charge-coupled device detector) детектором. В области рамановских сдвигов более 1900  $\text{cm}^{-1}$  интенсивность полос комбинационного рассеяния была на уровне фона, поэтому все представленные далее спектры КР ограничены 1900  $\text{cm}^{-1}$ . Для съемки спектров КР использовали диодный лазер RL785 ближнего ИК диапазона с длиной волн 785 нм. Спектральное разрешение составляло 1  $\text{cm}^{-1}$ , мощность возбуждающего излучения на образце варьировалась от 0.5 до 1.0 мВт, время экспозиции составляло 100 с. Возможности КРС для изучения мелких кластеров серебра в различных композитах описаны в работах [22, 23].

Рентгенограммы синтезированных нанопорошков сульфида серебра Ag<sub>2</sub>S, сульфида цинка ZnS и композитов ZnS/Ag<sub>2</sub>S, осажденных из разных реакционных смесей (табл. 1), показаны на рис. 1.

Дифракционные отражения нанопорошка ZnS и

**Таблица 1.** Состав реакционных смесей ( $\text{ммоль} \cdot \text{л}^{-1}$ ), состав  $x$  синтезированных композитных структур  $\text{ZnS}/\text{Ag}_2\text{S}(x)$  и период решетки  $a_{\text{B3}}$  сульфида цинка в полученных композитах

#	Синтез $\text{Ag}_2\text{S}$			Синтез $\text{ZnS}$			Состав $x$ (мол. % $\text{Ag}_2\text{S}$ ) композитных структур $\text{ZnS}/\text{Ag}_2\text{S}(x)$	$a_{\text{ZnS}}(\text{B3 type})$ (нм)
	$\text{Ag}(\text{NO}_3)_2$	$\text{Na}_2\text{S}$	$\text{Na}_3\text{Cit}$	$\text{ZnSO}_4$	$\text{Zn}(\text{NO}_3)_2$	$\text{Na}_2\text{S}$		
1	—	—	—	—	50	50	0 (ZnS)	0.53576
2	0.1	0.05	1.0	—	50	50	0.1	0.53576
3	0.9	0.45	0.36	50	—	50	0.9	0.53764
4	4.0	2.0	1.6	—	50	50	4.0	0.53981
5	10	5.0	1.0	—	50	50	10.0	0.53974
6	25	12.5	5.0	—	50	50	25.0	0.53664
7	0.1	0.05	1.0	—	—	—	100 ( $\text{Ag}_2\text{S}$ )	—

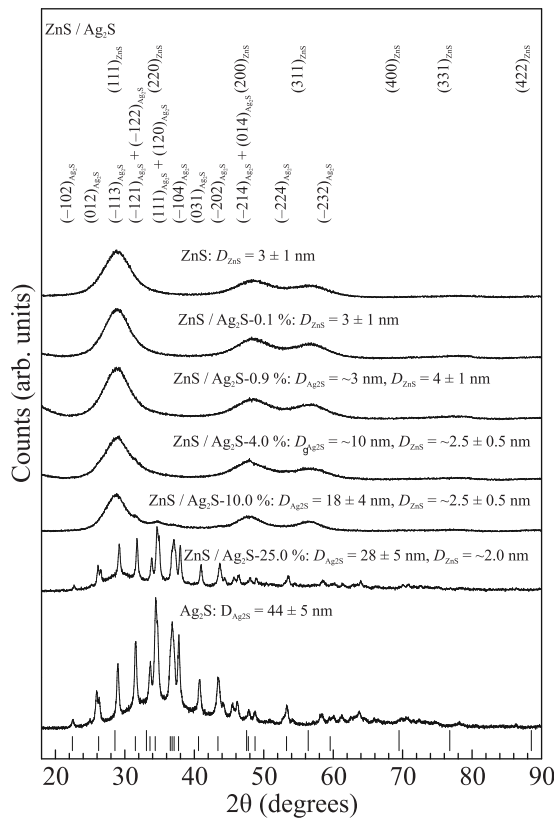


Рис. 1. Рентгенограммы синтезированных нанопорошков сульфида цинка  $\text{ZnS}$ , сульфида серебра  $\text{Ag}_2\text{S}$  и композитных структур  $\text{ZnS}/\text{Ag}_2\text{S}(x)$ , осажденных из разных реакционных смесей (табл. 1). Положения дифракционных отражений  $\text{ZnS}$  и  $\text{Ag}_2\text{S}$  отмечены длинными и короткими вертикальными штрихами соответственно

композитных структур  $\text{ZnS}/\text{Ag}_2\text{S}(x)$  с содержанием  $x \leq 4.0$  мол. % сульфида серебра, значительно уширены вследствие малого размера частиц  $\text{ZnS}$ . Размер  $D$  наночастиц  $\text{ZnS}$ , определенный по уширению дифракционных отражений, составляет до

$\sim 4$  нм (рис. 1). Проведенный количественный анализ и сравнение с данными [24] показали, что наблюдаемый набор дифракционных отражений соответствует однофазному сульфиду цинка с кубической (пр. гр.  $F\bar{4}3m$ ) структурой типа сфалерита (тип  $B3$ ). Период кристаллической решетки  $a_{\text{ZnS}}$  наночастиц  $\text{ZnS}$  равен  $0.5358\text{--}0.5398$  нм (табл. 1). Согласно результатам энерго-дисперсионного рентгеновского анализа содержание цинка Zn и серы S в синтезированных нанопорошках сульфида цинка и композитах со средним размером наночастиц  $\text{ZnS}$  3–4 нм составляет  $67.1 \pm 0.3$  и  $32.7 \pm 0.2$  вес. % (или  $50.2 \pm 0.1$  и  $49.9 \pm 0.1$  ат. %), что соответствует стехиометрическому сульфиду  $\text{ZnS}$ .

Количественный анализ рентгенограмм синтезированных композитов  $\text{ZnS}/\text{Ag}_2\text{S}$  и сравнение с данными [24, 25] показали присутствие дифракционных отражений моноклинного  $\text{Ag}_2\text{S}$  и кубического  $\text{ZnS}$  (рис. 1). Размер наночастиц сульфида серебра в композитах  $\text{ZnS}/\text{Ag}_2\text{S}(x)$  с  $x \leq 4.0$  мол. %  $\text{Ag}_2\text{S}$  меньше 10 нм, а в композитах  $\text{ZnS}/\text{Ag}_2\text{S}(x)$  с  $x > 4.0$  мол. %  $\text{Ag}_2\text{S}$  составляет от 10 до 28 нм.

На рисунке 2 показаны HAADF изображение композитной структуры  $\text{ZnS}/\text{Ag}_2\text{S}$ , содержащей 10 мол. %  $\text{Ag}_2\text{S}$ , и EDX карты распределения основных элементов Zn, Ag и S, а также общий спектр EDX.

Как видно из рис. 2а, композитная частица размером  $\sim 500$  нм является агломератом множества мелких сульфидных наночастиц, размер которых по данным рентгеновской дифракции не превышает  $\sim 18$  нм. По данным EDX частицы содержат Zn, Ag и S (рис. 2б, с и д). Содержание Zn, Ag и S в композите  $\text{ZnS}/\text{Ag}_2\text{S}-10.0\%$  составляет  $\sim 44.1$ ,  $\sim 8.2$  и  $\sim 47.2$  ат. % соответственно (рис. 2е). Соотношение содержаний Zn и Ag составляет 1 : 0.18, что почти

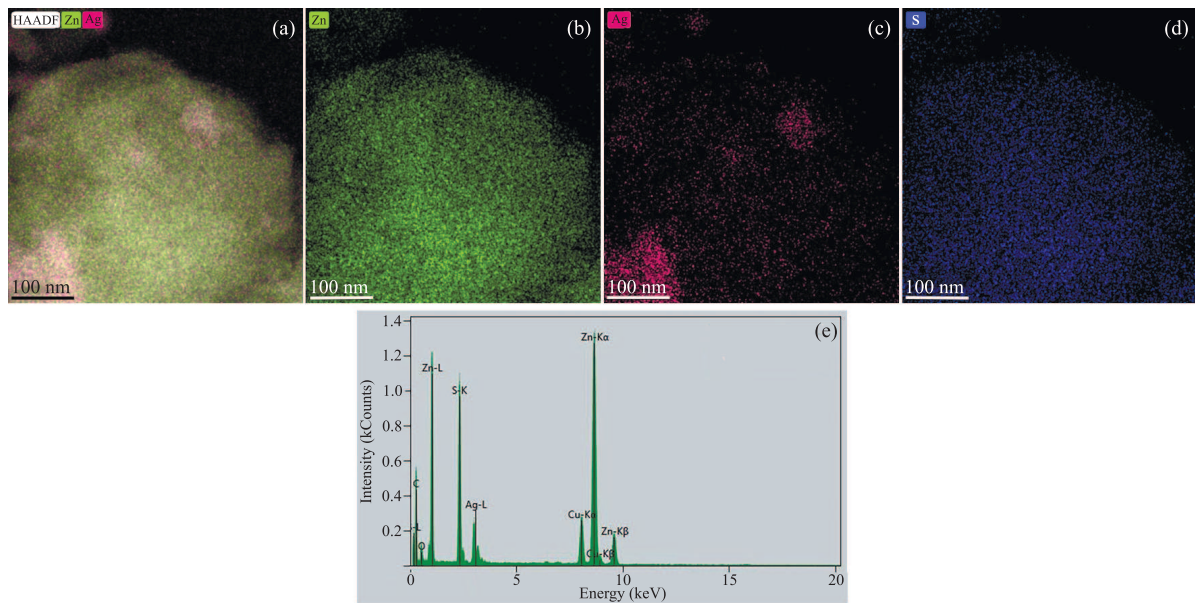


Рис. 2. (Цветной онлайн) HAADF изображение композита ZnS/Ag<sub>2</sub>S-10.0 %. Верхний ряд, слева направо: (а) – HAADF-STEM изображение агломерированной наночастицы, EDX карты распределения (б) цинка Zn, (с) – серебра Ag и (д) – серы S. Нижний ряд: (е) – общий EDX спектр композита ZnS/Ag<sub>2</sub>S-10.0 %

совпадает с заданным при синтезе соотношением 1:0.20.

Спектры КРС сульфидов ZnS и Ag<sub>2</sub>S и композитов ZnS/Ag<sub>2</sub>S, полученные при 1 % мощности излучения с длиной волны 785 нм, показаны на рис. 3, а характерные полосы комбинационного рассеяния света наносульфидами ZnS и Ag<sub>2</sub>S и нанокомпозитами ZnS/Ag<sub>2</sub>S-(x) приведены в табл. 2.

В спектре КРС нанопорошка кубического сульфида цинка  $\alpha$ -ZnS присутствуют три уширенные полосы в диапазонах 140–180, 254–270 и 345–355  $\text{cm}^{-1}$  (рис. 3). Согласно [26–28] пик, наблюдаемый при 348–350  $\text{cm}^{-1}$ , соответствует продольной оптической фононной моде, а пик при 275–278  $\text{cm}^{-1}$  соответствует поперечной оптической фононной моде. Эти пики обусловлены, в основном, колебаниями связей Zn–S. Широкая полоса в области  $\sim 254$ –270  $\text{cm}^{-1}$  спектра КР относится к поперечной оптической фононной моде второго порядка. Действительно, пики при  $\sim 175$ –180 и  $\sim 265$   $\text{cm}^{-1}$  наблюдались в спектрах КРС наночастиц ZnS [29] и крупнокристаллического (bulk) кубического сульфида цинка ZnS [30].

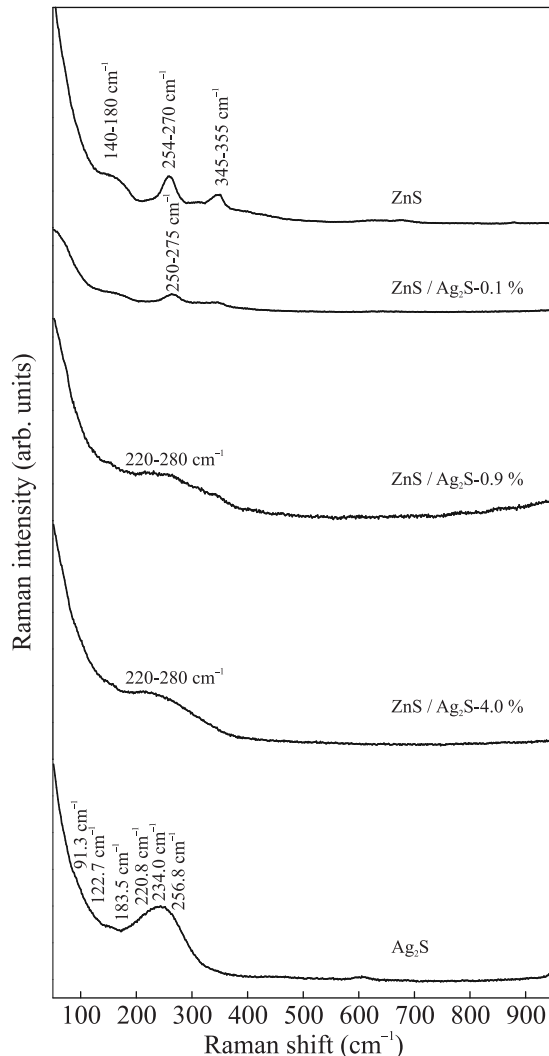
Спектр КРС композита ZnS/Ag<sub>2</sub>S-0.1 %, содержащего 0.1 мол. % Ag<sub>2</sub>S (рис. 3), почти не отличим от спектра КРС нанопорошка ZnS. Добавление 0.1 мол. % Ag<sub>2</sub>S к ZnS привело лишь к дополнительному уширению пиков, наблюдавшихся для ZnS. Спектр КРС композита ZnS/Ag<sub>2</sub>S-0.9 %, содержащего 0.9 мол. % Ag<sub>2</sub>S, существенно отлича-

ется от спектра нанопорошка сульфида ZnS (см. рис. 3). В этом спектре практически отсутствуют явно выраженные пики, лишь в диапазоне от 220 до 280  $\text{cm}^{-1}$  возникает размытая и уширенная полоса, характерная для Ag<sub>2</sub>S. Причина этого становится понятной при совместном рассмотрении результатов КРС, рентгеноструктурных и электронно-микроскопических данных. Размер частиц ZnS и Ag<sub>2</sub>S в композите ZnS/Ag<sub>2</sub>S-0.9 % равен  $\sim 4$  и  $\sim 3$  нм соответственно. Рамановские спектры снимаются с поверхности, поэтому при наличии отдельных частиц ZnS и Ag<sub>2</sub>S в спектре наблюдались бы полосы ZnS и Ag<sub>2</sub>S. Наблюдается же только формирование полосы, характерной для сульфида серебра. Это возможно, если мелкие наночастицы Ag<sub>2</sub>S покрыли поверхность более крупных частиц ZnS. Поэтому пики от сульфида цинка отсутствуют. Подтверждением служит сканирующая электронная микроскопия (СЭМ) коллоидного раствора З с композитными частицами ZnS/Ag<sub>2</sub>S-0.9 % (рис. 4): видно, что Ag<sub>2</sub>S преимущественно находится на поверхности наночастиц ZnS. Однако наночастиц сульфида серебра в количестве 0.9–1.0 мол. % недостаточно, чтобы в спектре сформировался явный пик Ag<sub>2</sub>S.

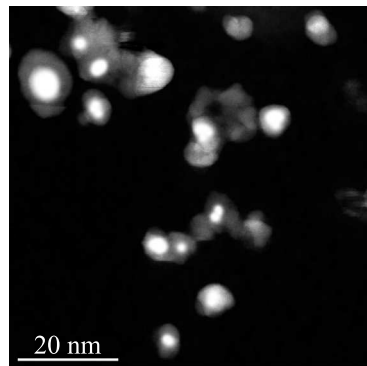
В спектре КРС сульфида серебра Ag<sub>2</sub>S (см. рис. 3) присутствует серия полос в диапазоне 90–280  $\text{cm}^{-1}$ , обусловленных, в основном, связями Ag–S. Это согласуется с данными [31, 32], согласно которым спектр КР акантита  $\alpha$ -Ag<sub>2</sub>S характеризуется

**Таблица 2.** Характерные полосы КРС для нанокристаллических сульфидов ZnS и Ag<sub>2</sub>S и нанокомпозитов ZnS/Ag<sub>2</sub>S-(x)

#	Состав x (мол. % Ag <sub>2</sub> S)	Характерные полосы КРС (см <sup>-1</sup> )
1	ZnS ( $x = 0$ )	140–180, 254–270, 345–355
2	ZnS/Ag <sub>2</sub> S-0.1 %	250–275
3	ZnS/Ag <sub>2</sub> S-0.9 %	размытая полоса в области 220–280
4	ZnS/Ag <sub>2</sub> S-4.0 %	формирование в области 220–280 полосы, характерной для Ag <sub>2</sub> S
5	Ag <sub>2</sub> S ( $x = 100$ %)	размытая уширенная полоса 210–280, образованная перекрытием пиков, характерных для крупнокристаллического Ag <sub>2</sub> S

Рис. 3. Спектры комбинационного рассеяния сульфидов ZnS и Ag<sub>2</sub>S и композитных структур ZnS/Ag<sub>2</sub>S-(x) с разным содержанием x сульфида серебра Ag<sub>2</sub>S

интенсивными полосами при  $\sim 93$ ,  $\sim 122$ ,  $\sim 188$  и  $225$ – $253$  см<sup>-1</sup>. В измеренном спектре КРС нанопорошка  $\alpha$ -Ag<sub>2</sub>S в низкочастотной области 210–280 см<sup>-1</sup> наблюдается размытый и уширенный пик, образованный перекрытием широких пиков, характерных для крупнокристаллического акантита Ag<sub>2</sub>S. Наличие широкой полосы в области 210–260 см<sup>-1</sup>, центрированной около 240 см<sup>-1</sup>, согласуется также с дан-

Рис. 4. Сканирующая электронная микроскопия коллоидного раствора 3 с композитными частицами ZnS/Ag<sub>2</sub>S-0.9 %: поверхность более светлых наночастиц ZnS покрыта более темной оболочкой из сульфида серебра

ными работами [33], в которой пик от наночастиц Ag<sub>2</sub>S наблюдался около 220 см<sup>-1</sup>. В структуре акантита  $\alpha$ -Ag<sub>2</sub>S трехатомные цепочки Ag–S–Ag являются нелинейными, поэтому полосы спектра связаны с симметричными Ag–S–Ag продольными колебательными модами. В работе [33] наночастицы Ag<sub>2</sub>S моделировали совокупностью кластеров (AgS)<sub>n</sub> с  $n = 1$ –9, имеющих минимальную энергию. В результате моделирования было показано, что полосы, наблюдавшиеся в спектре КРС наночастиц Ag<sub>2</sub>S в области около 250 см<sup>-1</sup>, преимущественно обусловлены радиальными колебаниями кластера (AgS)<sub>7</sub>, а также кластеров (AgS)<sub>6</sub> и (AgS)<sub>8</sub> [33]. Согласно [34], фундаментальные моды, которые наблюдаются при  $\sim 220$  см<sup>-1</sup>, соответствуют продольным оптическим фононным колебаниям первого и второго порядков в Ag<sub>2</sub>S соответственно.

Следы пиков, характерных для ZnS, полностью отсутствуют в спектре КРС композитной структуры ZnS/Ag<sub>2</sub>S-4.0 % (рис. 3). По сравнению со спектром КРС композита ZnS/Ag<sub>2</sub>S-0.9 % в спектре композита ZnS/Ag<sub>2</sub>S-4.0 % в диапазоне 220–280 см<sup>-1</sup> наблюдается формирование полосы, характерной для сульфида серебра Ag<sub>2</sub>S. Это означает, что введение в композитные структуры ZnS/Ag<sub>2</sub>S-(x) всего лишь 1 мол. % наночастиц Ag<sub>2</sub>S приводит к возникновению на по-

верхности наночастиц ZnS оболочки из сульфида серебра.

Таким образом, в композитных структурах ZnS/Ag<sub>2</sub>S-(x) с малым содержанием Ag<sub>2</sub>S сульфид серебра служит покрывающим агентом для наночастиц сульфида цинка. Мы установили, что для возникновения на наночастицах ZnS покрывающей оболочки из сульфида серебра достаточно допирования ZnS всего лишь 1 мол. % наночастиц Ag<sub>2</sub>S.

**Финансирование работы.** Работа выполнена при финансовой поддержке Российского научного фонда (проект #19-73-20012-П, <https://rscf.ru/en/project/19-73-20012/>) в Институте химии твердого тела Уральского отделения РАН. Авторы благодарят Е.Ю. Герасимова за помощь в HAADF-STEM исследовании.

**Конфликт интересов.** Авторы данной работы заявляют, что у них нет конфликта интересов.

1. X. Wang, H. Huang, B. Liang, Z. Liu, D. Chen and G. Shen, Crit. Rev. Solid State Mater. Sci. **38**, 57 (2013).
2. G. Murugadoss, R. Jayavel, M. Rajesh Kumar and R. Thangamuthu, Appl. Nanosci. **6**, 503 (2016).
3. S. I. Sadovnikov, A. V. Ishchenko, and I. A. Weinstein, J. Alloys Compd. **831**, 54846 (2020).
4. R. Zamiri, H. A. Ahangar, A. Zakaria, G. Zamiri, M. Shabani, B. Singh, and J. M. F. Ferreira, Chem. Cent. J. **9**, 28 (2015).
5. M. Cardona and G. Harbeke, Phys. Rev. A **137**, 1467 (1965).
6. M. Sharma, S. Singh, and O. P. Pandey, J. Appl. Phys. **107**, 104319 (2010).
7. С.И. Садовников, И.Д. Попов, ФТТ **62**, 1787 (2020).
8. T. V. Butkhuzi, T. G. Tchelidze, E. G. Chikoidze, and N. P. Kekelidze, Phys. Stat. Sol (b) **229**, 365 (2002).
9. И. В. Сурикова, Д. Р. Яхьяева, Е. В. Гуляева, М. Ю. Королева, Усп. химии хим. технол. **24**, 110 (2010).
10. H. Zhang, B. Wei, L. Zhu, J. Yu, W. Sun and L. Xu, Appl. Surf. Sci. **270**, 133 (2013).
11. M. Karimipour, N. Moradi, and M. Molaei, J. Luminesc. **182**, 91 (2017).
12. T. Dai, Y. Wan, R. Tian, S. Wang, T. Han, and G. Wang, ACS Appl. Bio Mater. **3**, 3260 (2020).
13. Y.-M. Zeng, L.-J. Pan, J. Wang, Y.-L. Fan, Y. Shu, D.-W. Pang, and Z.-L. Zhang, ChemistrySelect **5**, 5889 (2020).
14. J. Zhao, Md. N. Rafat, C.-M. Yoon, and W.-C. Oh, Nanomaterials **12**, 3639 (2022).
15. L. Bao, X. Ren, C. Liu, X. Liu, C. Dai, Y. Yang, M. Bououdina, S. Ali, and C. Zeng, Chem. Commun. **59**, 11280 (2023).
16. Z. M. Fard, M. Bagheri, S. Rabieh, and H. Z. Mousavi, New J. Chem. **44**, 14670 (2020).
17. N. S. Babu, Mater. Today: Proc. **45**, 3976 (2021).
18. L. Zhang, P. Li, L. Feng, X. Chen, J. Jiang, S. Zhang, C. Zhang, A. Zhang, G. Chen, and H. Wang, J. Hazard Mater. **387**, 121715 (2020).
19. S. I. Sadovnikov and I. A. Balyakin, Comput. Mater. Sci. **184**, 109821 (2020).
20. С.И. Садовников, А.И. Гусев, Письма в ЖЭТФ **113**, 733 (2021).
21. X'Pert HighScore Plus. Version 2.2e (2.2.5). © 2009 PANalytical B. V. Almedo, the Netherlands.
22. G. Cardini, M. Muniz-Miranda, M. Pagliai, and V. Schettino, Theor. Chem. Acc. **117**, 451 (2007).
23. A. A. Mosquera, J. M. Albella, V. Navarro, D. Bhattacharyya, and J. L. Endrino, Sci. Rep. **6**, 32171 (2016).
24. JCPDS card # 005-0566
25. S. I. Sadovnikov, A. I. Gusev, and A. A. Rempel, Phys. Chem. Chem. Phys. **17**, 12466 (2015).
26. W. G. Nilsen, Phys. Rev. **182**, 838 (1969).
27. Y. C. Cheng, C. Q. Jin, F. Gao, X. L. Wu, W. Zhong, S. H. Li, and P. K. Chu, J. Appl. Phys. **106**, 123505 (2009).
28. M. Dimitrijevska, H. Xie, A. J. Jackson, X. Fontané, M. Esp7'ndola-Rodriguez, E. Saucedo, A. Perez-Rodriguez, A. Walsh, and V. Izquierdo-Roca, Phys. Chem. Chem. Phys. **18**, 7632 (2016).
29. J. Trajić, R. Kostić, N. Romčević, M. Romčević, M. Mitić, V. Lazović, P. Balaž, and D. Stojanović, J. Alloys Compd. **637**, 401 (2015).
30. S. Jimenez-Sandoval, A. Lopez Rivera, and J.C. Irwin, Phys. Rev. B **68**, 054303 (2003).
31. I. Martina, R. Wiesinger, D. Jembrih-Simburger, and M. Schreiner, E-Preserv. Sci.: Morana RTD **9**, 1 (2012).
32. J. I. Lee, S. M. Howard, J. J. Kellar, K. N. Han, and W. Cross, Metall. Mater. Trans. B **32**, 895 (2001).
33. Y. Delgado-Beleno, M. Cortez-Valadez, C. E. Martinez-Nuñez, R. Britto Hurtado, A. B. Alvarez Ramón, O. Rocha-Rocha, H. Arizpe-Chávez, A. Perez-Rodríguez, and M. Flores-Acosta, Chem. Phys. **463**, 106 (2015).
34. L. Hashmi, P. Sana, M. M. Malik, A. H. Siddiqui, and M. S. Qureshi, Nano Hybrids **1**, 23 (2012).